

## IDENTIFICATION DES *DRACÆNA* DE CÔTE-D'IVOIRE A L'ÉTAT VÉGÉTATIF

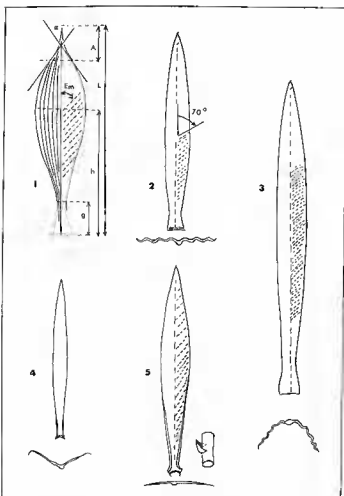
par J. A. MOUTON

Si le genre *Dracæna* est assez facile à reconnaître dans la nature, il est, par contre, assez difficile d'identifier les espèces à l'état végétatif. Nous donnons une clé des espèces de Côte d'Ivoire fondée uniquement sur les caractères foliaires visibles à l'état frais. Il existe souvent un système de nervures plus ou moins inclinées sur l'axe de la nervure médiane, visible à la face supérieure du limbe (face adaxiale) et se superposant à la nervation primaire soit parallélodrome, soit campylodrome. Deux espèces font exception : *D. mannii* et *D. ovata* pour lesquelles ce système n'est pas visible.

Nous avons eu le choix entre la « clé indentée », d'emploi courant dans « Adansonia », et la « clé à créneaux » (LEENHOUTS, 1966, 573-574). Dans la première, la moitié de chaque alternative est directement suivie de tous les doublets subordonnés d'où un éloignement parfois assez grand entre les deux propositions du critère proposé; dans la seconde, au contraire, les deux propositions de l'alternative sont juxtaposées et tous les doublets se suivent d'où une plus grande compacité et une meilleure facilité de lecture avec possibilité éventuelle de pouvoir se libérer de la clé dichotomique tout en respectant ses règles d'élaboration. C'est pourquoi nous avons préféré l'emploi de la « clé à créneaux ». Pour se servir de la clé, il suffit de choisir une feuille normalement bien développée et dénommée « feuille caractéristique » par Casimir DE CANDOLLE. Le contrôle d'identité peut se faire d'après la morphologie du limbe (Pl. 1 et 2) et d'après la biométrie foliaire (tabl. I).

En biométrie, nous employons outre les mesures classiques surface (S), épaisseur (e) et longueur (L), les rapports et les angles ci-dessous. La figure 1 (Pl. 1) précise les mesures effectuées :

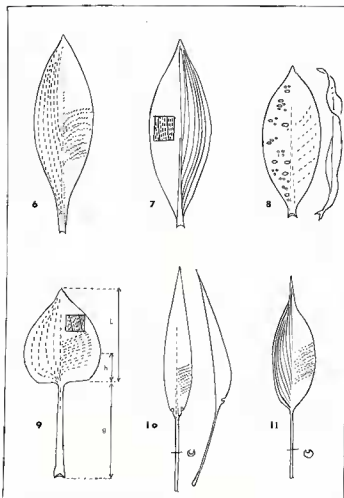
- L/l : Rapport longueur sur largeur maxima.
- h/L : Position de la largeur maxima par rapport à la base.
- A/L : Rapport acuminal : longueur de l'acumen par longueur du limbe.
- g/L : g est la distance à la base de la largeur minima.
- $\alpha$  : angle acuminal.
- Em : angle d'émergence du réseau de nervures secondaires.



Pl. 1. — 1, biométrie foliaire; 2, *D. fragrans* (L.) Ker Gawl; 3, *D. arborea* (Willd.) Link; 4, *D. mannii* Bak; 5, *D. scoparia* A. Chev. ex Hutch.

Les chiffres de la dernière colonne du tableau indiquent la validité de cette mesure selon sa visibilité :

- 1 : visible,
- 2 : non mesuré,
- 3 : non mesurable,
- 4 : presque invisible,
- 5 : invisible.



Pl. 2. — 6, *D. camerooniana* Bak.; 7, *D. ovata* Ker Gawl; 8, *D. surculosa* Lindl.; 9, *D. elhottii* Bak.; 10, *D. humilis* Bak.; 11, *D. phrynioides* Hook.

NOTE. — La longueur donnée est une valeur moyenne qui varie dans la nature du simple au triple. On ne doit donc pas s'étonner d'avoir un écart assez sensible. Toutefois, l'ensemble des critères relatifs et des angles permet de contrôler avec certitude une détermination.

TABLEAU BIOMÉTRIQUE

|  | S               | e    | L   | L/l  | h/L | g/L | A/L | $\alpha$ | Em |   |
|--|-----------------|------|-----|------|-----|-----|-----|----------|----|---|
|  | cm <sup>2</sup> | mm   | cm  | —    | %   | %   | %   | °        | °  | — |
| <i>D. arborea</i> (Willd.)<br>Link . . . . .     | 1 261           | 0,61 | 136 | 10,9 | 55  | 9   | —   | 40       | 70 | 1 |
| <i>D. fragrans</i> (L.) Ker<br>Gawl . . . . .    | 606             | 0,58 | 85  | 8,5  | 48  | 14  | —   | 30       | 60 | 4 |
| <i>D. mannii</i> Bak. . . . .                    | 49              | 0,25 | 28  | 11,1 | 48  | 1   | —   | 25       | —  | 5 |
| <i>D. scoparia</i> A. Chev.<br>ex Hutch. . . . . | 68              | 0,25 | 27  | 6,8  | 58  | 2   | —   | 30       | —  | 2 |
| <i>D. camerooniana</i> Bak.<br>Gawl . . . . .    | 56              | 0,31 | 18  | 3,7  | 60  | 10  | 6   | 80       | —  | 3 |
| <i>D. ovata</i> Ker Gawl<br>Lindl. . . . .       | 121             | 0,36 | 24  | 3,1  | 55  | 2   | —   | 65       | —  | 5 |
| <i>D. surculosa</i> Lindl.<br>Hook. . . . .      | 40              | 0,36 | 13  | 2,7  | 48  | 6   | 11  | 80       | 60 | 1 |
| <i>D. elliotii</i> Bak. . . . .                  | 140             | 0,29 | 16  | 1,3  | 37  | 88  | 11  | 100      | 85 | 1 |
| <i>D. humilis</i> Bak. . . . .                   | 83              | 0,25 | 26  | 5,2  | 37  | 48  | —   | 20       | 80 | 1 |
| <i>D. phrynioides</i> Hook.<br>Lindl. . . . .    | 186             | 0,32 | 33  | 3,1  | 37  | 56  | 26  | 60       | 80 | 1 |

1. Feuille sans gaine bien développée; gaine ne dépassant pas 20 % de la longueur du limbe . . . . . 2  
Feuille avec gaine différenciée en pétiole atteignant au moins 40 % de la longueur du limbe . . . . . 8
2. Feuilles très allongées;  $L/l > 5$  gaine comprise . . . . . 3  
Feuilles elliptique-lancéolées;  $L/l < 4$  . . . . . 6
3. Grande feuille  $L > 50$  cm,  $S > 500$  cm<sup>2</sup>; limbe ondulé transversalement 4  
Feuille moyenne  $L = 30$  cm,  $S < 70$  cm<sup>2</sup>; limbe plan transversalement. 5
4. Feuille géante  $L = 135$  cm,  $S = 1 260$  cm<sup>2</sup>; décombante transversalement *D. arborea*  
Grande feuille  $L = 85$  cm,  $S = 600$  cm<sup>2</sup>; horizontale transversalement *D. fragrans*
5. Feuille pliée en V, sans nervation annexe visible. . . . . *D. mannii*  
Feuille plan-convexe transversalement; nervation annexe visible. . . . . *D. scoparia*
6. Base longuement atténuée; feuille ovale-lancéolée; nervation annexe convexe et nettement en dents de scie. . . . . *D. camerooniana*  
Base et apex également cunés; feuille elliptique-lancéolée . . . . . 7
7. Nervation campylodrome hétérogène présentant dans chaque champ interprimaire 3 nervures intercalaires plus faibles; soupçon de nervures transverses flexueuses très peu visibles. . . . . *D. ovata*  
Nervation campylodrome homogène sans intercalaire; nervation annexe bien visible; feuilles en bouquet souvent groupées par trois; limbe avec, occasionnellement des macules elliptiques et transversales. . . . . *D. surculosa*
8. Limbe ovale spatulé; les deux parties latérales du limbe déprimées; feuilles de la base du « flush » en écailles engageantes révolutes; couleur vert vineux; apex encapuchonné. . . . . *D. elliotii*  
Limbe elliptique lancéolé; feuilles équitantes; nervation transverse sinuose . . . . . 9
9. Base du limbe avec pli pincé; apex atténué. . . . . *D. humilis*  
Base du limbe sans pli à la base; apex longuement et nettement acuminé. . . . . *D. phrynioides*

BIBLIOGRAPHIE

- HUTCHINSON, J., DALZIEL, J. M. & HEPPER, F. N. — Flora of west tropical Africa, ed. 2, 3 (1) : 154-159 (1968).
- LEENHOUTS, P. W. — Keys in biology 1-2, Proc. bio. med. sci. C. 96 (5) : 571-596 (1966).
- MOUTON, J. A. — La biométrie du limbe : mise au point de nos connaissances. Bull. soc. bot. Fr. (Sous presse).

O.R.S.T.O.M. et Laboratoire de Phanérogamie,  
Muséum - PARIS.